

УДК 62-5

РАЗРАБОТКА СИСТЕМЫ АВТОМАТИЧЕСКОГО РЕГУЛИРОВАНИЯ МОЛОТКОВОЙ МЕЛЬНИЦЫ

Пупкевич М.Ю.

Научный руководитель – к.э.н., доцент Кравченко В.В.

Процесс горения тесно связан с процессом парообразования. Количество сжигаемого топлива (а соответственно и тепловыделение в топке) в установившемся режиме должно соответствовать количеству вырабатываемого пара D_b . Косвенным показателем тепловыделения Q'_t служит тепловая нагрузка D_q . Количество пара, вырабатываемого котлом, в свою очередь должно соответствовать расходу пара на турбину $D_{т.п.}$. Косвенным показателем этого соответствия служит давление пара перед турбиной. Оно должно поддерживаться вблизи заданного значения с высокой точностью по условиям экономичности и безопасности работы теплоэнергетической установки в целом. Система регулирования загрузки молотковой быстроходной мельницы (МБМ) должна выполнять функции АСР подачи топлива и в то же время поддерживать требуемую тонину помола пыли. Автоматическая система регулирования расхода топлива предназначена для поддержания материального соответствия между этими параметрами.

Регулятор расхода топлива является одним из важнейших регуляторов барабанного котла, обеспечивает его надежную работу. От точности и стабильности поддержания количества топлива, подаваемого в топку зависит точность и стабильность поддержания параметров пара генерируемого котлом, а также его экономичность. Превышение расхода топлива по отношению к необходимому приведёт к неполноте сгорания топлива и увеличению потерь с химическим и механическим недожогом. В свою очередь, недостаток топлива не позволит поддержать на заданном уровне параметры пара и нагрузку турбоагрегата, вызывая негативные явления в самой турбине из-за повышения влажности пара в ЦНД.

На регулятор подачи топлива поступают сигнал по расходу пара на турбину и сигнал по давлению в барабане котла (через дифференциатор), в сумме формирующие сигнал по теплоте, и сигнал от задатчика ручного управления (ЗРУ). Этот контур устраняет топочные возмущения, приводящие к изменению тепловыделения в топке. Колебания паровой нагрузки со стороны турбины возмещаются соответствующим изменением задания основному регулятору за счёт сигнала от регулятора (корректирующего) давления пара.

Окончательное приготовление угля к сжиганию осуществляется в системе пылеприготовления. Здесь он измельчается до пыли, уменьшается его влажность (для его просушки используется подогретый воздух либо дымовые газы) и вместе со вторичным воздухом он подаётся в топку. При камерном способе сжигания легко воспламеняющихся сортов топлива применяют пылесистемы с непосредственным вдуванием пыли в топку.

В системе пылеприготовления автоматизируются следующие процессы:

- 1) транспорт угля из БСУ;
- 2) размол угля, осуществляемый молотковой мельницей.

Изменение производительности МБМ воздействием на питатели сырого топлива происходит со значительной инерцией. Для ее уменьшения выход регулятора загрузки 1 соединяют через устройство динамической связи ДС со входом регулятора воздуха 2.

Таким образом обеспечивают дополнительный прирост расхода аэросмеси в топку в переходных режимах. Уменьшению инерционности выноса пыли в топку в переходных режимах способствует также применение электроприводов МБМ 9, снабженных устройством регулирования частоты вращения 10.

Моделирование выполняем по схеме, изображенной на рисунке 2:

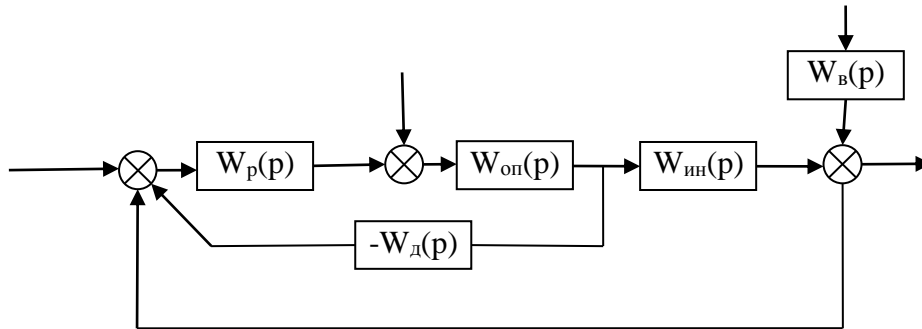


Рисунок 2. Структурная схема САР с дифференциатором

Передаточные функции имеют следующий вид:

$$\text{Основной регулятор: } W_p(p) = \frac{K_p(T_u p + 1)}{T_u p}.$$

$$\text{Дифференциатор: } W_o(p) = \frac{K_o T_o p}{T_o p + 1}.$$

$$\text{Опережающий участок: } W_{on}(p) = \frac{K_{on}}{(T_{on} p + 1)(\sigma_{on} p + 1)} = \frac{1,4}{(12,5 p + 1)(1,3 p + 1)}.$$

$$\text{Инерционный участок: } W_{ин}(p) = \frac{K_{ин} e^{-\tau_y p}}{(T_{ин} p + 1)(\sigma_{ин} p + 1)} = \frac{e^{-22 p}}{(90 p + 1)(18 p + 1)}.$$

$$\text{Крайнее внешнее возмущение: } W_e(p) = \frac{10}{30 p + 1}.$$

Дифференциатор настраивался на оптимальную обработку крайнего внешнего возмущения f_2 по МПК в ЧВ по передаточной функции инерционного участка объекта регулирования $W_{ин}(p)$.

Основной регулятор настраивался на оптимальную обработку внутреннего возмущения f_1 по МЧК по передаточной функции опережающего участка объекта регулирования.

Расчеты данных для моделирования процессов производились по методикам БНТУ с изменением коэффициентов Вышнеградского для улучшения качества регулирования и сравнивались с методом Александровой Н.Д. (ВТИ-2).

После моделирования переходных процессов в программе VisSim получили следующие результаты:

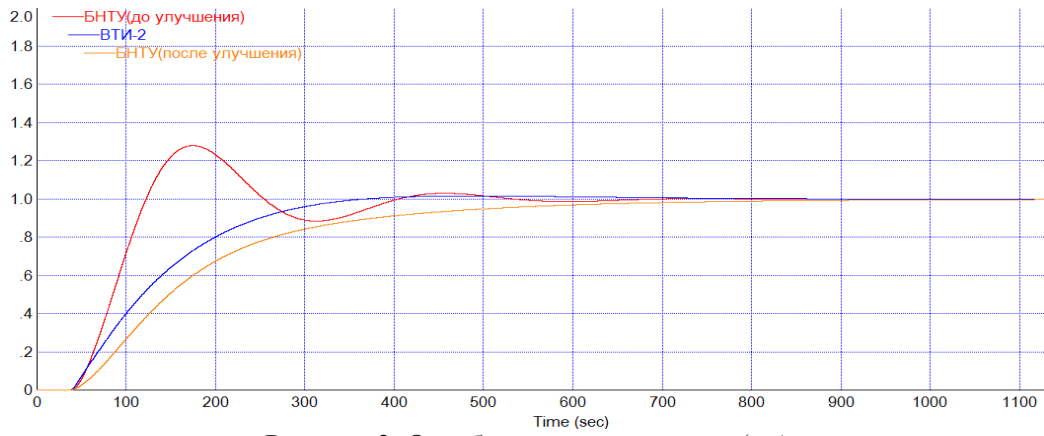


Рисунок 3. Отработка скачка задания ($x_{3д}$)

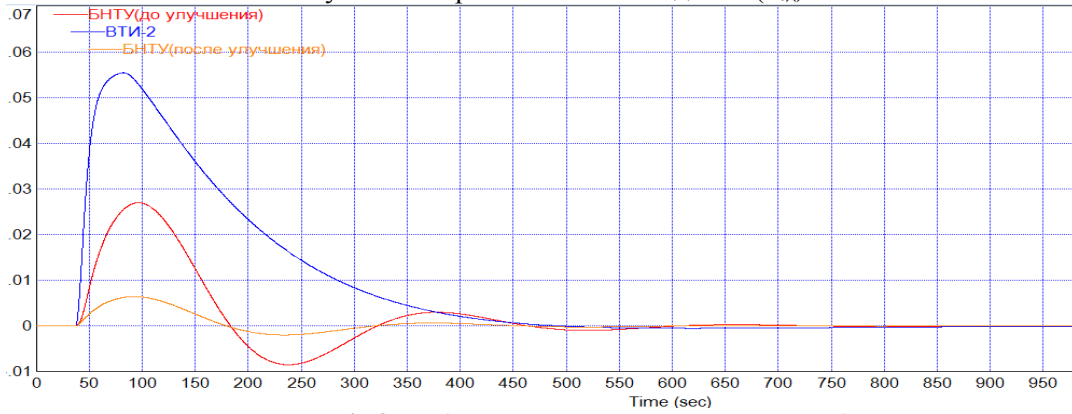


Рисунок 4. Отработка внутреннего возмущения f_1

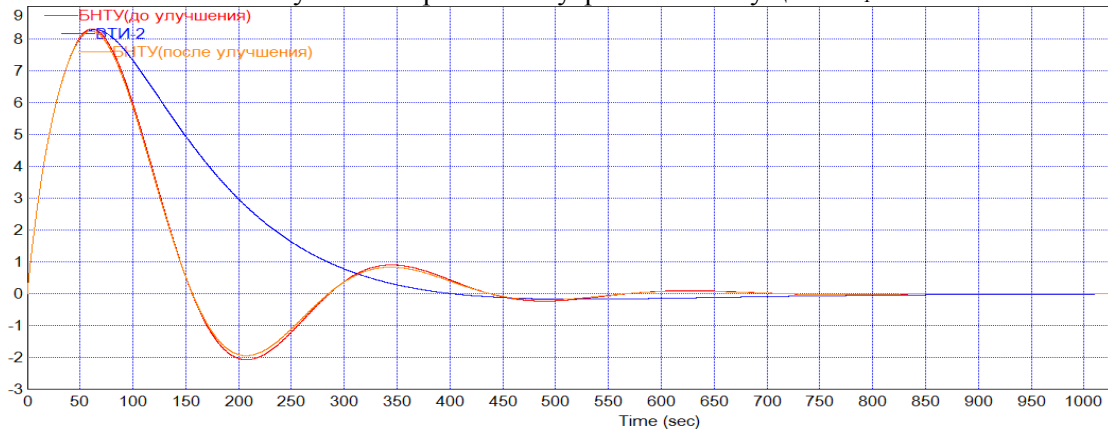


Рисунок 5. Отработка крайнего внешнего возмущения f_2

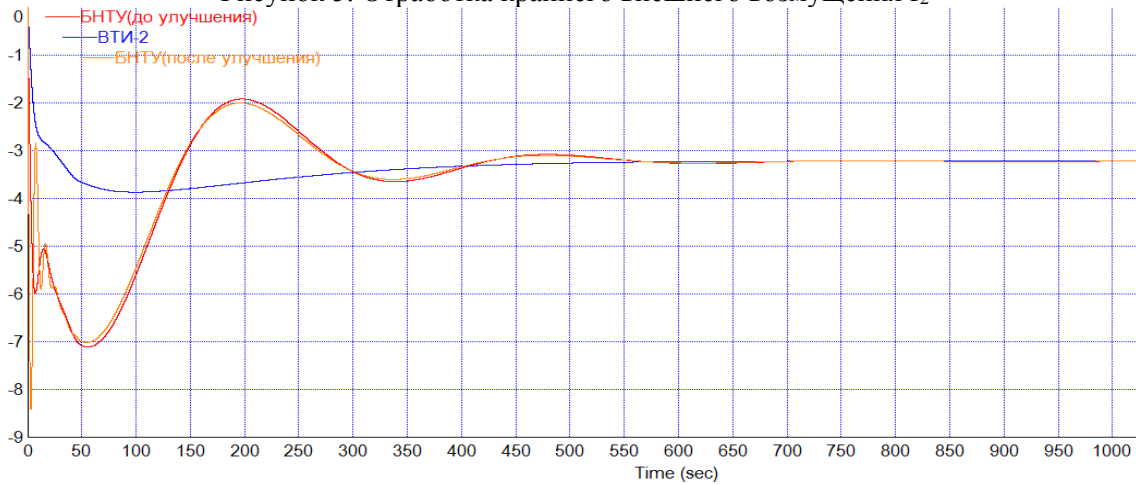


Рисунок 6. Регулирующее воздействие x_p при отработке крайнего внешнего возмущения f_2

Таблица 1 – Полученные показатели качества переходного процесса

| Метод | $x_{зд}$ | | f_1 | | f_2 | | x_p |
|------------------------|----------|--------------|-------|---------|-------|---------|-------|
| | tp, с | σ , % | tp, с | A_1^+ | tp, с | A_1^+ | |
| БНТУ (до улучшения) | 702,6 | 21,01 | 770,6 | 0,027 | 867,5 | 8,75 | 7,38 |
| ВТИ-2 | 679 | 0 | 465 | 0,056 | 779 | 8,65 | 4,27 |
| БНТУ (после улучшения) | 367,8 | 0 | 450 | 0,006 | 580 | 8,31 | 7 |

Из полученных результатов, можно сделать вывод, что наилучшими показателями обладает система, рассчитанная по методу БНТУ после улучшения (с использованием коэффициентов Вышнеградского $A_1=2,382$ и $A_2=1,146$). Однако величина регулирующей воздействия высока. И если нас это не будет устраивать, то в дальнейшем ее можно уменьшить добавив в нашу схему ограничитель.